

بررسی پدیده جیغ ترمز و تاثیر پارامترهای مختلف بر روی آن

بهرام شاهین^{*}، محسن اصفهانیان^{**} و سعید ضیایی راد^{***}

دانشکده مهندسی مکانیک، دانشگاه صنعتی اصفهان

(دریافت مقاله: ۱۳۸۹/۱۱/۲۰ - دریافت نسخه نهایی: ۱۳۸۸/۱۲/۱۸)

- چکیده -

واژگان کلیدی :

An Investigation on Brake Squeal Phenomenon and the Effect of Different Parameters on its Dynamic Characteristics

B. Shahin, M. Esfahanian and S. Ziae-Rad

Department of Mechanical Engineering, Isfahan University of Technology, Isfahan, Iran

Abstract: This paper is concerned with the phenomenon of disc brake squeal. Brake squeal is a high frequency noise created by the car brake systems. The noise does not disturb the performance of the brake system but mainly affects the passenger's comfort. That is why nowadays it is one of the main factors in determining the quality of the brake system. First, the reasons expressed in the literature for the source and mechanisms of generating brake squeal are presented. Next, the instability caused by close modes is shown as a realistic basis for the onset of brake squeal. In other words, modes which are close to each other in the frequency range and have similar characteristics may merge as the friction contribution increases and creates the squeal noise. A finite element model of the Samand brake system was constructed in a commercial finite element software and

استاد

استادیار

* - دانشجوی کارشناسی ارشد

then solved in several steps. Due to the complexity of the problem and presence of large number of degrees of freedom in the model, the solution is carried out by use of parallel computing. Finally, the behavior of the model is analyzed with respect to the variation of important parameters such as coefficient of friction, brake force, stiffness of the brake system and its material characteristics. The effect of slots on the pads is also investigated. It is shown that the slots can have an important role in the squeal noise suppression.

Keywords: Self-excited vibration, Brake squeal, Finite element method

دیسک عامل اصلی این پدیده است [۴]. جمعی دیگر بر این باورند که نوعی ناپایداری (شیوه فلاتر) حاصل از ارتعاش خارج از صفحه دیسک و افزایش دامنه آن دلیل اصلی جیغ ترمز است [۵ و ۶]. این در حالی است که اکثریت محققان جفت‌شدن مودهای سیستم ترمز را عامل این ناپایداری و نویز می‌دانند [۷]. در این حالت وقتی که فرکانسهای طبیعی پایدار سیستم دیسک، لنت، سیلندر و غیره به یکدیگر نزدیک و در نهایت جفت می‌شوند، دو مود طبق آن چه به‌طور شماتیک در شکل (۱) نشان داده شده‌است از یکدیگر جدا می‌شوند. یکی از این مودها دارای قسمت حقیقی مثبت است که منجر به ناپایداری در سیستم شده و این ناپایداری سبب اصلی ایجاد نویز در ترمز و به وجود آمدن پدیده جیغ ترمز است. با جداشدن مودها از یکدیگر، افزایش دامنه ارتعاش و وجود عوامل غیرخطی نظری اصطکاک بین دیسک و مجموعه کالیپر، سیستم ممکن است دچار تشدید داخلی نیز شود^۱ فرکانس نویز ترمز اساساً با فرکانس هر یک از اعضای سیستم ترمز یکی نیست، اما با فرکانس کوپل شده برابر است.

پیلیچاک و تان در سال ۲۰۰۲ کل جرم دیسک و لنت را به صورت دو جرم متمرکز مساوی متحرک بر روی یک نوار نقاله مدل کردند. در مدل آنها دو جرم به مجموعه‌ای از فنر و مستهلك کننده متصل و ضریب اصطکاک بین دو سطح با سرعت تغییر می‌کرد [۸].

شین در سال ۲۰۰۲، برای سیستم ترمز مدلی با درجات آزادی در صفحه و خارج از صفحه ارائه کرد. در مدل وی جرم دیسک و جرم لنت به صورت دو جرم مجزا که با همدیگر اصطکاک دارند، در نظر گرفته شده است [۹]. در سال ۲۰۰۵ میخاییل، جرم دیسک و لنت را با یک جرم

۱- مقدمه
جیغ ترمز^۱ در سالهای اخیر، به موضوعی مهم برای درجه‌بندی سیستم ترمز و میزان راحتی سفر وسایل نقلیه تبدیل شده است. این پدیده نویزی آزاردهنده برای سرنشینان و عابرین است و دارای فرکانس متوسط تا بالاست و با نویزهای با فرکانس پایین ترمز (Brake judder کمتر از ۱۰۰ هرتز و Brake groan کمتر از ۱۰۰۰ هرتز) متفاوت است. اگر چه هنوز تعریف دقیقی از آستانه فرکانسی دسته‌های مختلف نویز ترمز وجود ندارد، اما عمولاً ارتعاشات بین ۱۰۰۰ تا ۲۰۰۰۰ هرتز را جیغ ترمز می‌نامند. جیغ ترمز پدیده‌ای زودگذر و عمولاً تکرارناپذیر است عموماً در سرعتهای دورانی کم (سرعتهایی در حدود ۶۰ تا ۶۰ دور بر دقیقه) و تا اتمام فرایند توقف اتومبیل اتفاق می‌افتد [۱].

سختگیرانه‌تر شدن استانداردها موجب صرف میلیونها دلار برای تحقیق و آزمایشهای گوناگون برای کاهش این نویز فقط در آمریکای شمالی شده است [۲]. روش‌های کاهش نویز سیستم ترمز به دو دسته کلی کاهش نویز فعال و نافعال تقسیم می‌شوند [۳]. در روش فعال با اندازه‌گیری ارتعاشات خارج از صفحه دیسک و سپس اعمال یک نیروی مخالف دامنه ارتعاشات دیسک محدود می‌شود. در روش نافعال با بهینه‌سازی پارامترهای ذاتی سیستم از قبیل سختی، شکل هندسی، استهلاک و... میزان نویز تولیدی کاهش داده می‌شود. به عنوان مثال می‌توان از صفحه‌ی نازک با استهلاک بالا (شیم)^۲ برای کاهش ارتعاشات دیسک و لنت استفاده کرد.

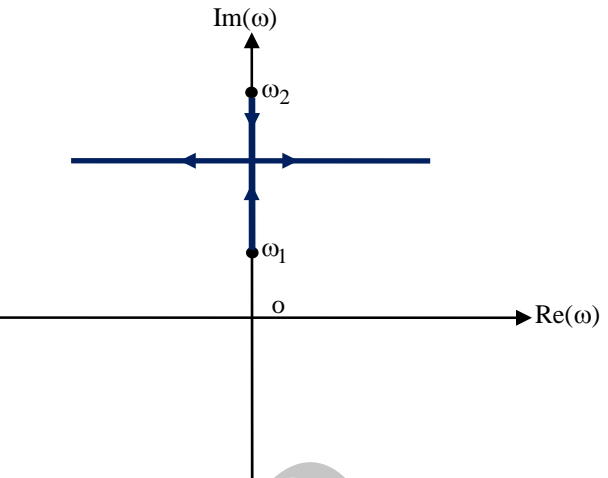
در مورد پدیده جیغ ترمز اجماع نظری بین محققان وجود ندارد. بعضی از محققان معتقدند که تغییر ضریب اصطکاک با سرعت و موقعیت مکرر پدیده چسبش-لغزش^۳ بین لنت و

روی آن بررسی کرد [۲]. او فرکانس طبیعی دیسک و کالیپر را محاسبه و نتایج را با نتایج آزمایش مقایسه کرد.

دافنوی در سال ۲۰۰۶، سیستم ترمز قطار را تحت بارهای ترمومکانیکی بررسی و برای این منظور از روش اجزای محدود استفاده کرد [۱۲]. لورلنگ نیز در سال ۲۰۰۶، سیستم ترمز قطار را مدل‌سازی کرد [۱۳]. او با مدل‌سازی اجزای محدود، ناپایداری سیستم ترمز را بررسی و فرکانس‌های ناپایدار را محاسبه کرد. تعدادی از فرکانس‌های ناپایدار به دست آمده با نتایج آزمایش تقریباً یکسان بودند.

مسی و همکارانش در سال ۲۰۰۷، با استفاده از یک مدل پیش بر روی دیسک سیستم ترمز با کمک روش اجزای محدود، یک بار به صورت خطی و یک بار به صورت غیرخطی حل کردند. آنها پس از محاسبه مقادیر ویژه سیستم، فرکانس ناپایدار مشخص شد و ناحیه ناپایدار را با توجه به تغییرات مدول یانگ و ضریب اصطکاک به دست آوردند [۱۴].

در این مقاله به بررسی پدیده جیغ ترمز در اثر جفت‌شدن مودهای سیستم ترمز به عنوان عامل اصلی ایجاد آن پرداخته شده است. در تحقیق حاضر به دلیل استفاده از پردازش موازی، سیستم ترمز با جزیيات کامل مورد بررسی و اثر عوامل مختلف و موثری چون لنت، کالیپر و شیارها بر روی عملکرد سیستم مورد مطالعه قرار گرفته است. نوآوری مقاله شامل ۱- ارائه تکنیکی برای حل مسئله جیغ ترمز در نرم افزار اجزای محدود ۲- مدل‌سازی اجزای محدود پدیده جیغ ترمز برای سیستم ترمز خودروی سمند و ۳- ارائه راه حلی ساده برای بهتر شدن عملکرد آن است. روند ارائه مقاله به شکل زیر است. ابتدا در بخش (۲) تکنیک حل و قدمهای لازم برای شبیه سازی مسئله معرفی می‌شود. در بخش (۳) سیستم ترمز خودرو سمند معرفی و سپس جزیيات مربوط به مدل المان محدود سه بعدی آن ارائه می‌شود. در بخش (۵) تاثیر پارامترهای مختلف بر عملکرد سیستم بررسی می‌شود. در نهایت جمع‌بندی از نتایج به دست آمده در بخش نتیجه‌گیری آورده شده است.



شکل ۱- جفت‌شدن مودها

متمرکز که بر روی یک نوار نقاله با سرعت ثابت قرار داشت مدل کرد. نوار نقاله با سرعت ثابت حرکت و ضریب اصطکاک بین جرم و نوار نقاله با سرعت نسبی بین آنها تغییر می‌کرد [۱]. در این تحقیق، اثر تغییر ضریب اصطکاک و اثر نیروی دایتر بر روی پاسخ سیستم بررسی شده است.

هاچلنت و هاگدون در سال ۲۰۰۶، یک مدل چهار درجه آزادی برای بررسی سیستم ترمزی ارائه کردند که پایداری سیستم را با توجه به پارامترهای سیستم بررسی می‌کرد [۱۰]. آنها با قرار دادن دو عملگر پیزوالکتریک در پشت دو لنت، دو نوع کنترلر خطی، یکی بر اساس کنترل بهینه و دیگری بر پایه حداقل انرژی تلف شده، برای کاهش نویز طراحی کردند. در مدل‌های پیوسته، اجزای سیستم با دقت بالایی مدل شده و از روش‌های اجزای محدود یا تحلیل مودال استفاده می‌شود تا پدیده یکسان شدن مودها و تشدید بررسی و اثر هندسه و پارامترهای دیگر روی آن به دست آید. مزیت این مدلها بر مدل‌های گستته، دقت بالا و هم‌خوانی بیشتر نتایج آنها با نتایج تجربی است.

جیان لتو (۱۹۹۵) معادلات حرکتی سیستم ترمز را با استفاده از نظریه صفحه استخراج و با استفاده از روش اجزای محدود و تحلیل مودال نتایج حاصله را با نتایج آزمایشات مقایسه کرد [۱۱]. کائو در سال ۲۰۰۴، با استفاده از روش اجزای محدود، معادلات حرکت سیستم را استخراج و حل مقادیر ویژه را بر

ادامه مقادیر ویژه مختلط مدل استخراج می‌شود. برای این محاسبه مقادیر ویژه لازم است از حلگر نامتقارن^۶، استفاده شود. لازم به ذکر است که مقادیر ویژه سیستم به دلیل وجود اصطکاک و نیروی گریز از مرکز و کوریولیس، در حالت کلی اعدادی مختلط‌اند. سپس دویست مقدار ویژه و بردار ویژه اول سیستم در محدوده فرکانسی ۲۰ تا ۲۰۰۰۰ هرتز محاسبه می‌شوند.

این مرحله نیاز به زمان زیاد، حجم محاسبات و حافظه بسیار زیاد دارد. لذا برای سرعت‌شدن محاسبات، حل مسئله مورد نظر بر روی شانزده پردازنده و به صورت موازی انجام گرفت. زمان لازم برای هر بار حل این مسئله بر روی شانزده پردازنده با فرکانس پردازش ۲/۶۶ گیگاهرتز که مجموعاً سرعت این خوشة محاسباتی^۷ ۱۴/۸۸ گیگافلاپس^۸ است، حدود ۱/۵ ساعت است. در اینجا از ارائه جزئیات استخراج و چگونگی موازی کردن محاسبات به دلیل طولانی شدن مقاله خودداری می‌شود.

در مرحله چهارم، مقدارهای ویژه محاسبه شده استخراج و در فایلی متنی ذخیره می‌شوند. اگر λ معرف یکی از مقادیر ویژه سیستم باشد، پارامتر نسبت استهلاک^۹ به صورت زیر تعریف می‌شود

$$(1) \quad \text{نسبت استهلاک} = -2 \frac{\text{Re}(\lambda)}{|\text{Im}(\lambda)|}$$

مقادیر منفی ضریب استهلاک برای یک مود، نشانه ناپایداری آن مود است. اگر یکی از مودها ناپایدار شود، احتمال زیادی وجود دارد که پدیده جیغ ترمز روی دهد.

۳- ترمز خودروی سمند

برای بررسی پدیده یکی شدن مودها، سیستم ترمز خودرو سمند انتخاب و بررسی شد. این مدل شامل یک دیسک به همراه دو لنت است. دو لنت در دو طرف دیسک قرار دارند. دیسک توسط چهار پیچ به چرخ خودرو وصل می‌شود. جنس لنت از مواد آلی است. تصویری از لنت و دیسک در شکل (۲) نشان داده شده است. دیسک از جنس آهن ریخته‌گری و از نوع خنک‌شونده و دارای ۳۸ پره است. قطر آن در حدود ۲۷۰

۲- تکنیک حل

مدل‌سازی پدیده مورد نظر به راحتی در نرم‌افزارهای اجزای محدود امکان‌پذیر نیست. دیسک دارای حرکت دورانی با سرعت زاویه‌ای ثابت است که باید چرخش آن در مدل منظور شود. فشار ناشی از نیروی ترمز باستی به لتها اعمال و توسط تماس بین لنت و دیسک به دیسک اعمال شود. همچنین اصطکاک بین لتها و دیسک نیز باید به گونه‌ای مناسب منظور شود. به منظور حل مسئله با توجه به مشخصات مذکور چهار گام اساسی برای حل آن در نظر گرفته شد.

در گام اول، از حلگر استاتیک ضمنی^{۱۰} استفاده و در آن شرایط مرزی و بارگذاری فشاری به مدل اعمال می‌شود. تماس بین گره‌ها و نوع تماس بین آنها مشخص می‌شود. تماس از نوع گره بر صفحه است. در این گام ضریب اصطکاک صفر قرار داده می‌شود. همچنین تماس بین دیسک و لنت با قرار دادن فشار بر روی سطح خارجی صفحه پشتی لنت ایجاد می‌شود. حلگر گام دوم نیز استاتیک ضمنی است و در آن حرکت دورانی و مقدار ضریب اصطکاک به مدل اعمال می‌شود. در حقیقت جوابهای ناشی از مرحله اول حل به عنوان مقادیر اولیه برای این مرحله استفاده می‌شوند. همان‌طور که قبلًاً اشاره شده، پدیده جیغ ترمز در سرعت‌های پایین ایجاد می‌شود. سرعت دورانی برای مسئله مورد نظر rad/s ^{۱۱} فرض شده که با سرعتی که در آن این پدیده اتفاق می‌افتد تطابق دارد. همچنین در این مرحله، ضریب اصطکاک از صفر به میزان $0/3$ افزایش می‌یابد. در حالت کلی ضریب اصطکاک به سرعت نسبی، سطح تماس، دما، رطوبت بستگی دارد. از آنجایی که ممکن است در اثر اعمال تماس و نیروی اصطکاک به طور همزمان حل ضمنی واگرا شود، لذا لازم است در گام اول تماس تعریف شده و ضریب اصطکاک صفر قرار داده شود و در گام بعدی مقدار ضریب اصطکاک به مقدار مورد نظر تغییر می‌کند تا موجب همگرایی مسئله شود. تا انتهای این مرحله، شرایط پایدار فرایند ترمزگیری مدل شده است. در گام سوم، تحلیل فرکانس بر روی مدل انجام می‌گیرد و در



شکل ۲- تصویر واقعی دیسک و لنت

جدول ۱- مشخصات مکانیکی دیسک ترمز

ضریب پوسان ν	$E(N/m)$ مدول الاستیسیته	$\rho(Kg/m^3)$ چگالی
۰/۲۴	۱۲۵ Gpa	۷۸۰۰ Kg/m^3

جدول ۲- مشخصات مکانیکی صفحه پشتی لنت

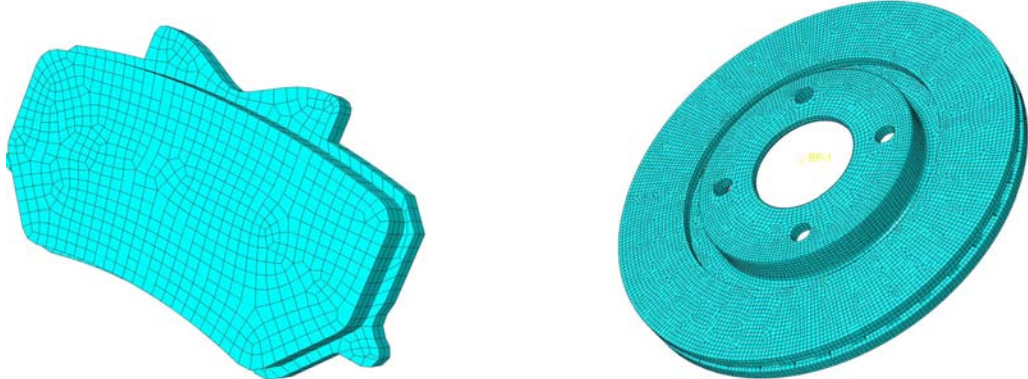
ضریب پوسان ν	$E(N/m)$ مدول الاستیسیته	$\rho(Kg/m^3)$ چگالی
۰/۲۹	۷۰۷ Gpa	۷۸۲۰ Kg/m^3

جدول ۳- مشخصات مکانیکی لنت دیسک ترمز

$\rho = 2510 \frac{Kg}{m^3}$						
D1111	D1122	D2222	D1133	D2233	D3333	D1112
۵۹۴۰۰۰	۷۶۰۰۰	۵۹۴۰۰۰	۹۸۰۰۰	۹۸۰۰۰	۲۲۷۰۰۰	۰
D2212	D3312	D1212	D1113	D2213	D3313	D1213
۰	۰	۲۵۹۰۰۰	۰	۰	۰	۰
D1313	D1123	D2223	D3323	D1223	D1323	D2323
۱۱۸۰۰۰	۰	۰	۰	۰	۰	۱۱۸۰۰۰

است. قسمت رو که بر روی قطعه فولادی می‌چسبد از جنس مواد آلی با اصطکاک زیاد ساخته شده است. قسمت روی لنت به صورت ماده‌ای کشسانی غیر ایزوتروپیک با مشخصات نشان داده شده در جدول (۳) مدل شده است.

میلیمتر و ضخامتی در حدود ۲۰ میلیمتر دارد. خصوصیات مکانیکی دیسک در جدول (۱) آورده شده است. لنت ترمز از دو قسمت پشت و رو تشکیل شده که قسمت پشت آن از جنس فولاد و دارای مشخصات مکانیکی مطابق آنچه در جدول (۲)



شکل ۳- جزء‌بندی دیسک و لنت

جدول ۴- جدول مقایسه نتایج برای ارزیابی

مقدار ضریب استهلاک	تعداد مودهای ناپایدار	
۰/۰۱۴	۱	مدل شده در مرجع [۱۵]
۰/۰۱۵۷	۱	مدل ارزیابی
٪ ۱۲	٪ ۰	خطا

بین دیسک و لنت از نوع گره بر روی صفحه $^{\circ}$ است.

۴- مدل اجزای محدود

مدل اجزای محدود مسئله در چند مرحله انجام می‌پذیرد که مراحل آن در ادامه بیان می‌شود

۵- نتایج و تاثیر پارامترهای مختلف بر عملکرد ترمز

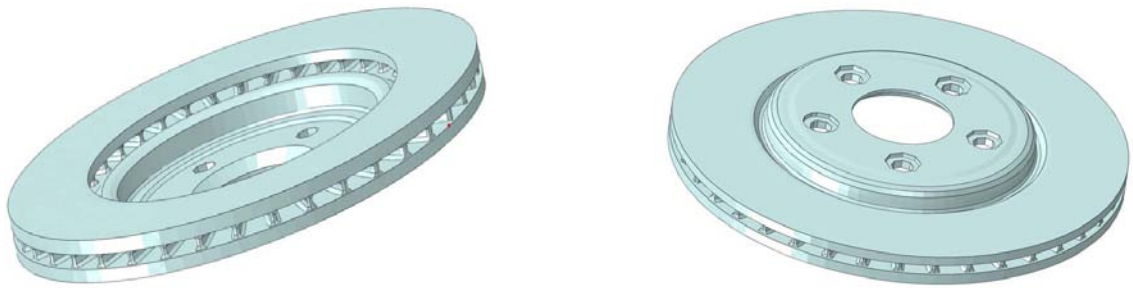
در ادامه به مطالعه یکی شدن مودها در سیستم ترمز و پارامترهایی که بر روی آن تاثیر می‌گذارد، پرداخته می‌شود.

۴-۱- هندسه و بارگذاری مدل

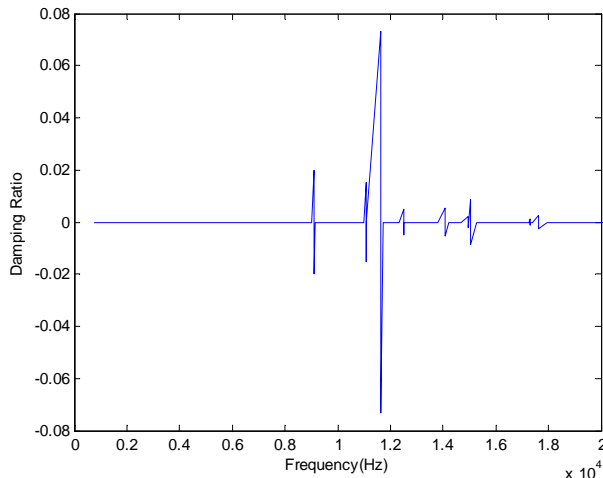
با توجه به مدل واقعی، دیسک و لنت در نرم‌افزار مدل شدند. برای جزء‌بندی دیسک و لنت از اجزای مکعبی هشت گره‌ای با خاصیت عدم قفل شوندگی برشی استفاده شد. تعداد اجزای دیسک مدل شده، ۵۰۳۵۴ و تعداد گره‌های آن ۶۸۳۳۶ است. هر کدام از لتها دارای ۳۵۱۵ جزء و ۴۶۶۵ گره است. تعداد کل درجات آزادی مدل شامل دیسک و لتها ۲۲۳۰۰۰ است. مدل جزء‌بندی شده دیسک و لنت در شکل (۳) آمده است. لنت فقط قادر به حرکت در راستای عمود بر صفحه دیسک است و درجات آزادی آن در بقیه جهات مهار شده است. نیروی ترمز به صورت فشاری به دو صفحه پشتی وارد می‌شود. در محل قرارگیری پیچها، درجات آزادی دیسک گرفته شده است. تماس

۵- صحبت‌سنگی مدل و روش حل

برای اطمینان از درستی روش پیشنهادی، ابتدا مسئله دیسک و لنت مطرح شده در مرجع [۱۵] با راهکار ارائه شده در این مقاله حل و نتایج حاصله با نتایج مرجع در جدول (۴) آورده شده است. دیسک مورد مطالعه در این مرجع دارای قطر خارجی ۲۹۰ میلیمتر، دارای ۳۹ پره خنک‌کننده که در سطح پشتی دیسک قرار دارد و از جنس آهن ریخته گری مطابق شکل (۴) ساخته شده است. سرعت دوران آن ($\frac{rad}{s}$) ۵ است. لنت مورد بررسی در شکل (۵) نشان داده شده و جنس آن از مواد اصطکاکی است. ضریب اصطکاک $0/۳$ ، بین دیسک و لنت



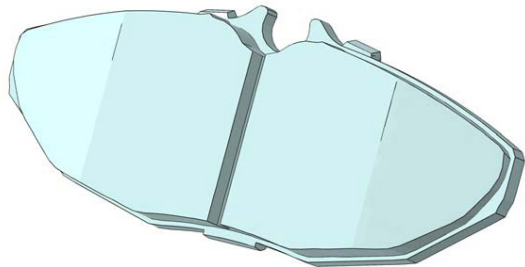
شکل ۴- مدل دیسک استفاده شده در مرجع [۱۵]



شکل ۶- نمودار ضریب استهلاک برای سیستم ترمز سمند

سمند در این حالت دارای نه مود ناپایدار در بازه فرکانسی ۲۰ تا ۲۰۰۰۰ هرتز است. شش مود ناپایدار اول سیستم ترمز سمند در شکل (۷) نشان داده شده است.

هنگامی که دو مود بر روی هم قرار می‌گیرند، فرکانس هر دو مود، یکسان خواهد شد. در این صورت قدر مطلق ضریب استهلاک در هر دو مود برابر شده و یکی از دو مود ناپایدار می‌شود. در حقیقت مودی که دارای ضریب استهلاک منفی است، مود ناپایدار است (به علامت منفی در تعریف ضریب استهلاک در معادله (۱) توجه شود). با توجه به نمودار شکل (۶)، مود ناپایدار سوم دارای بیشترین ضریب استهلاک است. با این شرایط، سیستم ترمز ممکن است در این نه فرکانس، نویز ایجاد کند. بنابراین، بهتر است با بهینه‌سازی پارامترهای ذاتی سیستم ترمز، تعداد فرکانس‌های ناپایدار و مقدار ناپایداری آنها (ضریب استهلاک) را کاهش داد.

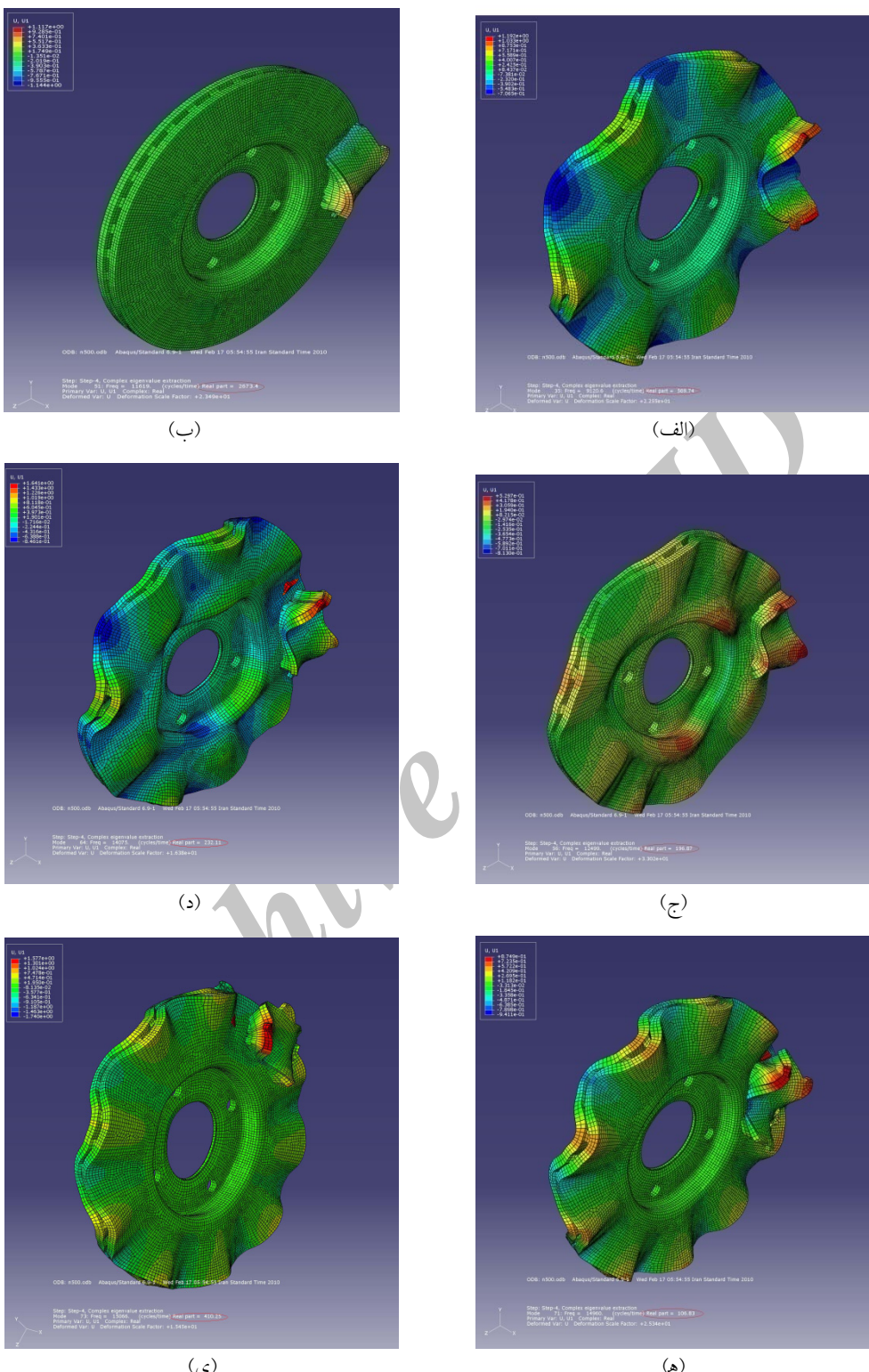


شکل ۵- لنت استفاده شده در مرجع [۱۵]

اعمال می‌شود. همان‌طور که از نتایج مشخص است تعداد مودهای ناپایدار پیش‌بینی شده توسط هر دو تحقیق با یکدیگر برابر است (هر دو مدل یک مود ناپایدار در ۵۰ مود اول دارند). این تفاوت برای ضریب استهلاک حدود ۱۲ درصد است که با توجه به خطای مدل‌سازی، در سطح قابل قبولی است. به‌این ترتیب صحبت‌سنگی تکنیک ارائه شده انجام و در ادامه بقیه نتایج بر روی ترمز سمند انجام می‌گیرد.

۵- نتایج به‌دست آمده برای ترمز سمند

در ابتدا مسئله چندین بار برای شبکه‌های متفاوتی حل شد و از عدم وابستگی جوابها به اندازه جزء شبکه اطمینان حاصل شد. در نهایت شبکه‌ای مطابق آنچه در شکل (۳) نشان داده شده است، برای بقیه محاسبات در نظر گرفته شد. برای ضریب اصطکاک $\mu/3$ ، بین دیسک و لنت، سرعت دوران (rad/s) برای دیسک و نیروی فشار ترمیزی $5/0$ کیلو پاسکال بر روی هر یک از لنتهای، نمودار ضریب استهلاک به صورت نشان داده شده در شکل (۶) خواهد بود. با توجه به این شکل، سیستم ترمز



شکل ۷-۶ مود ناپایدار اول سیستم،

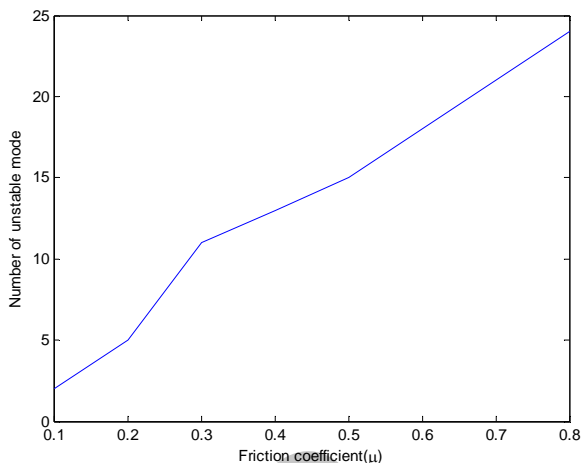
(الف)، مود ۳۴، (ب)، مود ۵۱، (ج)، مود ۵۶، (د)، مود ۶۴، (ه)، مود ۷۱، (ي)، مود ۷۳

پارامتر ضریب استهلاک در سه مود ۱۲، ۲۴، ۳۴ و مود بحرانی، آورده شده است. با توجه به این نمودارها، می‌توان چنین نتیجه‌گیری کرد که افزایش مقدار ضریب اصطکاک، هم تعداد مود ناپایدار و هم مقدار ضریب استهلاک را افزایش می‌دهد، به طوری که افزایش ضریب اصطکاک، بیشترین تاثیر را بر روی ضریب استهلاک مود بحرانی دارد. به بیان دیگر با افزایش ضریب اصطکاک، هم‌زمان با افزایش ضریب استهلاک مودهای ناپایدار موجود، تعداد مودهای پایدار برانگیخته شده نیز افزایش می‌یابد. فرکانس مودهای ناپایدار نیز افزایش یافته است، اگرچه میزان افزایش چشمگیر نیست. بنابراین با افزایش ضریب اصطکاک امکان ایجاد جیغ ترمز تشدید و فرکانس جیغ نیز بالاتر می‌رود.

۵-۳-اثر نیروی ترمز بر روی جیغ ترمز

بعد از ضریب اصطکاک، اثر نیروی ترمزگیری بررسی می‌شود. برای این منظور، تمام پارامترها به غیر از نیروی ترمزگیری ثابت در نظر گرفته شد. نیروی ترمز بین ۱۸۷ پاسکال تا ۱۵۰۰ پاسکال تغییر داده شد تا تاثیر آن بر روی دیده جیغ ترمز مورد مطالعه قرار گیرد. هم‌چنان که در شکل (۱۰) مشاهده می‌شود، تغییر نیروی ترمزگیری تاثیر چندانی بر تعداد مود ناپایدار شده و ضریب استهلاک بحرانی ترین مود ندارد. بنابراین تغییر نیروی ترمز، تاثیری بر روی جیغ ترمز نخواهد داشت.

با توجه به تاثیر دو پارامتر ضریب اصطکاک و نیروی ترمزگیری بر روی جیغ ترمز، برای کاستن نویز حاصل از جیغ ترمز می‌توان سیستم ترمزگیری با ضریب اصطکاک کم و نیروی ترمزگیری بیشتر طراحی کرد. این در حالی است که افزایش نیرو در سیستم ترمز موجب ایجاد مشکلاتی در عملکرد آن می‌شود. به عبارت دیگر عملکرد سیستم ترمز در ترمزهای ناگهانی کاهش پیدا می‌کند و این موضوع برای سیستم ترمز مناسب نیست. به علاوه وجود نیروی زیاد تنش قطعات و در نهایت عمر موثر آنها را نیز کاهش می‌دهد.



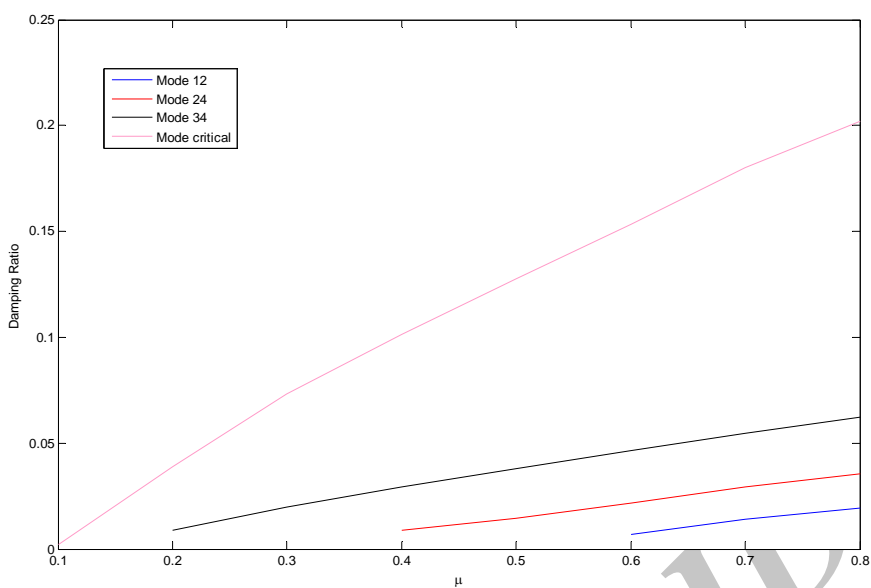
شکل ۸- نمودار تعداد مود ناپایدار بر حسب ضریب اصطکاک

دو پارامتر اساسی سیستم ترمز که بر روی عملکرد فرایند ترمزگیری تاثیر مستقیم دارند، ضریب اصطکاک بین دیسک و لنت و نیروی ترمزگیری است. ضریب اصطکاک بین دیسک و لنت یکی از پارامترهای طراحی است. اما نیروی ترمزگیری پارامتر طراحی است که به عملکرد ترمزگیری راننده نیز وابسته است. در ادامه به تاثیر این پارامترها بر روی سیستم ترمزمسمند پرداخته می‌شود.

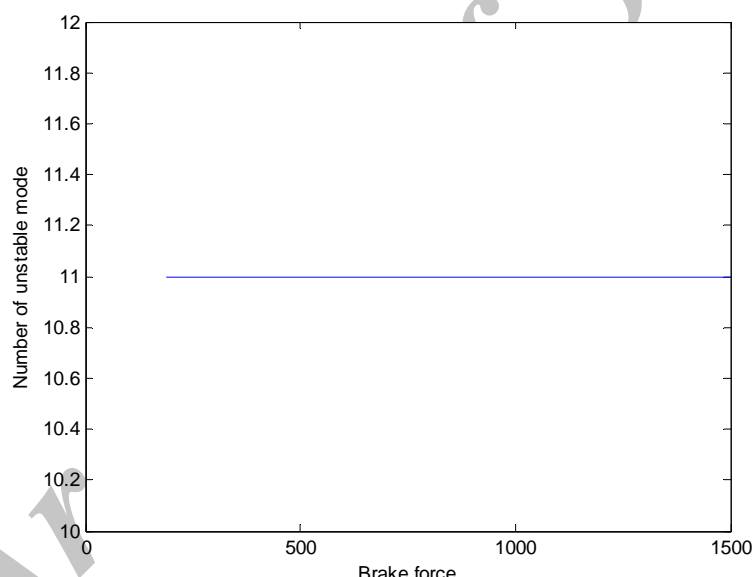
۵-۴-اثر ضریب اصطکاک بین لنت و دیسک بر روی جیغ ترمز

برای مطالعه تاثیر مقدار ضریب اصطکاک بر روی جیغ ترمز با توجه به مدل ارائه شده، تمام پارامترهای سیستم ترمز به غیر از ضریب اصطکاک، بدون تغییر فرض شده‌اند. مقدار ضریب اصطکاک بین دو مقدار $0/8$ تا $0/1$ درجه تغییر داده شده و تاثیر آن بر روی پدیده جیغ ترمز بررسی شده است.

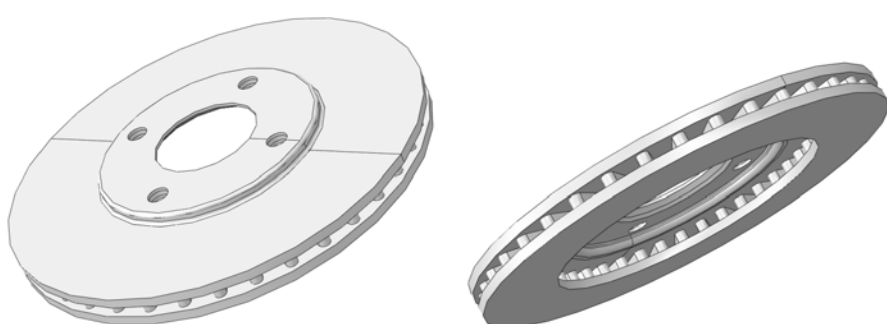
در شکل (۸)، تاثیر افزایش ضریب اصطکاک بر روی تعداد مودهای ناپایدار مشاهده می‌شود. افزایش ضریب اصطکاک، تعداد مود بحرانی را به شدت افزایش داده، به طوری که در این بازه، تعداد آنها به عدد ۲۲ افزایش یافته است. افزایش مودهای ناپایدار در بازه $0/2$ تا $0/3$ بیشتر از بازه‌های دیگر است. در شکل (۹)، تاثیر تغییر ضریب اصطکاک بر روی



شکل ۹- نمودار قدر مطلق ضریب استهلاک برای سه مود ۱۲ و ۲۴ و ۳۴ و بحرانی ترین مود بر حسب ضریب اصطکاک



شکل ۱۰- نمودار تعداد مود ناپایدار بر حسب نیروی ترمز



شکل ۱۱- دو نما از دیسک دوم

جدول ۵- جدول مقایسه مودهای ناپایدار دو نوع دیسک در بازه فرکانسی ۱۶۰۰۰-۰ هرتز

مقدار ضریب استهلاک برای مود بحرانی	تعداد مود ناپایدار	
۰/۰۷۳۲	۷	دیسک نوع اول
۰/۱۰۱	۱۶	دیسک نوع دوم
+۳۸٪	+۱۲۸٪	درصد تغییر

جدول ۶- جدول مقایسه فرکانس‌های ناپایدار دو نوع دیسک در بازه فرکانسی ۱۶۰۰۰-۰ هرتز

فرکانس مود بحرانی	فرکانس سوم ناپایداری	فرکانس دوم ناپایداری	فرکانس اول ناپایداری	
۱۲۴۹۹	۱۲۴۹۹	۱۱۰۷۷	۹۱۲۰	دیسک نوع اول
۱۱۲۹۶	۹۵۷۷	۸۳۸۲	۶۸۶۸	دیسک نوع دوم
-۱۰٪	-۲۳٪	-۲۴٪	-۲۵٪	درصد تغییر

بحرانی در حدود ۱۰ درصد کاهش یافته است. این موضوع به علت افزایش بازه فرکانسی ناپایدار مطلوب نیست.

۴-۵- اثر هندسه لنت بر روی جیغ ترمز

موردن بررسی دیگر، تاثیر شیارهایی است که می‌توان بر روی لنت ایجاد کرد. این شیارها شامل، شیارهای عمودی، طولی و زاویه‌دار است. برای مقایسه تاثیر ایجاد شیار بر روی تعداد مود ناپایدار و ضریب استهلاک، مقدار تغییرات این دو پارامتر در بازه فرکانسی ۱۳۰۰۰-۰ هرتز به همراه شکل لتها در جدول (۷) نشان داده شده است.

با توجه به این جدول، با ایجاد شیار بر روی سطح رویی لنت، هم تعداد مودهای ناپایدار و هم مقدار ضریب استهلاک در آنها به شدت افزایش یافته است. نتایج افزایش ۱۲۵ تا ۲۵۰ درصدی در تعداد مود ناپایدار و ۳۴ تا ۴۵ درصدی در ضریب استهلاک در مود ناپایدار بحرانی را نشان می‌دهند. مقدار فرکانس مود ناپایدار بحرانی و سه مود ناپایدار اول در جدول (۸) آورده شده است. ایجاد این نوع شیارها بر روی لنت، موجب افزایش بازه فرکانسی مودهای ناپایدار می‌شود. این شیارها همچنین موجب کاهش مود ناپایدار اول بین ۳۵

برای مطالعه تاثیر هندسه دیسک، نیاز به تهیه مدل دیگری است. به این منظور، مدل جدیدی از دیسک تهیه شد که دو نما از آن در شکل (۱۱) نشان داده شده است. تفاوت این دیسک با مدل قبلی در شکل کلاه آن و مکان قرارگیری پره‌های خنک‌کننده است. این دیسک با لتها و جنسهای قبلی در نرم‌افزار مورد بررسی قرار گرفت. کلیه شرایط مرزی، تماسهای بین دو سطح و بارگذاری بهمانند مدل قبلی به دیسک و لتها اعمال شد. برای مقایسه، پارامترهای قابل بررسی دیسک جدید و دیسک مدل شده قبلی در جدول (۵) آورده شده است.

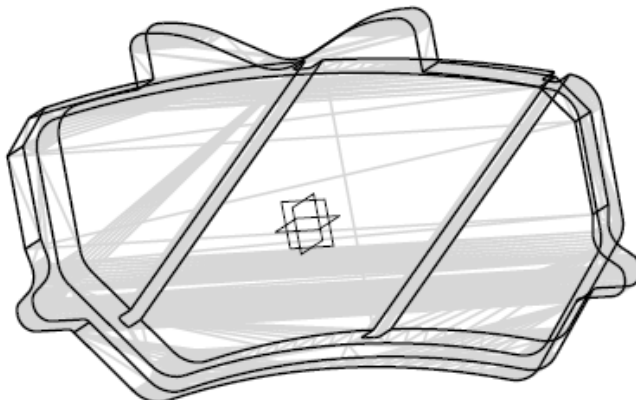
هم‌چنان که مشخص است، با تغییر مدل روتور، تعداد مود ناپایدار در بازه ۱۶۰۰۰-۰، به ۱۶ عدد افزایش یافته است. این معادل افزایشی در حدود ۱۲۸ درصد برای تعداد مودهای است. هم‌چنین این تغییر مقدار ضریب استهلاک مود بحرانی را نیز افزایش داده است. افزایش تعداد مود و ضریب استهلاک برای سیستم ترمز مناسب نیست. تاثیر این تغییر بر روی فرکانس مودهای ناپایدار در جدول (۶) آورده شده است. با توجه به این جدول، دیسک جدید فرکانس‌های ناپایدار سه مود اول را در حدود ۲۴ درصد کاهش داده است. هم‌چنین فرکانس مود

جدول ۷- جدول مقایسه مودهای ناپایدار لنتهای مختلف در بازه فرکانسی ۰-۱۳۰۰۰ هرتز

ضریب استهلاک	تعداد مود ناپایدار	شکل لنٹ	
درصد افزایش	درصد افزایش		
۰/۰۷۳۲	۴		لنٹ معمولی
% ۰	% ۰		
۰/۱۰۶	۱۴		لنٹ با یک شیار طولی
% +۴۵	% +۲۵۰		
۰/۱۰۸	۱۱		لنٹ با یک شیار عمودی
% +۴۵	% +۱۷۵		
۰/۰۹۸۱	۹		لنٹ با دو شیار عمودی
% +۳۴	% +۱۲۵		
۰/۱۰۱	۱۲		لنٹ با یک شیار اریب
% +۳۸	% +۲۰۰		

جدول ۸- جدول مقایسه فرکانس‌های ناپایدار لنتهای مختلف در بازه فرکانسی ۰-۱۳۰۰۰ هرتز

فرکانس مود سوم	فرکانس مود دوم	فرکانس مود اول	فرکانس بحرانی	
درصد افزایش	درصد افزایش	درصد افزایش	درصد افزایش	
۱۲۴۹۹	۱۱۰۷۷	۹۱۲۰	۱۲۴۹۹	لنٹ معمولی
% ۰	% ۰	% ۰	% ۰	
۷۲۴۲۱	۵۰۶۸	۳۸۱۸	۱۱۲۴۲	لنٹ با یک شیار طولی
% -۴۲	% -۵۴	% -۵۸	% -۱۰	
۸۶۵۵	۷۲۵۳	۳۸۱۸	۱۱۳۹۹	لنٹ با یک شیار عمودی
% -۳۰	% -۳۵	% -۵۸	% -۹	
۱۱۱۵۲	۸۵۴۰	۷۲۴۶	۳۸۱۸	لنٹ با دو شیار عمودی
% -۵۸	% -۴۲	% -۳۵	% -۱۰	
۱۱۲۶۶	۷۲۶۳	۵۵۳۴	۳۸۱۵	لنٹ با یک شیار اریب
% -۵۸	% -۴۲	% -۵۰	% -۱۰	



شکل ۱۲- لنت ترمز پیشنهادی با دو شیار موازی قطری

جدول ۹- جدول مقایسه مودهای ناپایدار دو نوع لنت در بازه فرکانسی ۰-۲۰۰۰۰ هرتز

ضریب استهلاک مود ناپایدار	تعداد مود ناپایدار	لنت نوع اول
۰/۰۷۳۲	۹	لنت با دو شیار اریب
۰/۰۴۳۲	۲	درصد تغییر
% -۴۱	% -۷۸	

جدول ۱۰- جدول مقایسه فرکانس‌های ناپایدار دو نوع لنت در بازه فرکانسی ۰-۲۰۰۰۰ هرتز

فرکانس مود بحرانی	فرکانس سوم ناپایداری	فرکانس دوم ناپایداری	فرکانس اول ناپایداری	لنت نوع اول
۱۲۴۹۹	۱۲۴۹۹	۱۱۰۷۷	۹۱۲۰	لنت با دو شیار اریب
۸۲۶۶	-	۸۲۶۶	۷۱۱۴	درصد تغییر
-۳۴ %	-	-۲۵ %	-۲۲ %	

فرکانسی ۰-۲۰۰۰۰ هرتز در جدول (۹) آورده شده است. با توجه به این جدول، تعداد مودهای ناپایدار به شدت کاهش یافته است. تعداد مودهای ناپایدار کاهش ۷۸ درصدی را در بازه فرکانسی ۰-۲۰۰۰۰ هرتز نشان می‌دهد. ضریب استهلاک مود بحرانی نیز ۴۶ درصد کاهش یافته که این موضوع برای کاهش جیغ ترمز سیستم ترمز سمند مطلوب است. در این حالت نیز با توجه به جدول (۱۰)، فرکانس مودهای ناپایدار در حدود ۲۳ درصد کاهش یافته است. با توجه به تعداد کم مودهای ناپایدار و نزدیک بودن فرکانس‌های ناپایدار، این موضوع مشکلی بر عملکرد جاذبهای صوتی نیز ایجاد نمی‌کند.

تا ۵۸ درصد می‌شوند. بنابراین این شیارها هم تعداد مودهای ناپایدار را افزایش و هم فرکانس مودهای ناپایدار را به شدت کاهش می‌دهند. با توجه به اینکه جاذبهای صوت در یک دامنه فرکانسی محدود عملکرد بهتری دارند، این پراکندگی فرکانسی از این لحاظ مطلوب نیست.

با توجه به تأثیر افزایش تعداد شیارها بر روی کاهش تعداد مود ناپایدار نسبت به حالت تک شیار، دو شیار زاویه‌دار مانند شکل (۱۲) بر روی لنت ایجاد شده است. تأثیر این تغییر بر روی تعداد مود ناپایدار و فرکانس آنها در ادامه مورد مطالعه قرار می‌گیرد. تأثیر این تغییر بر روی تعداد مود ناپایدار در بازه

بررسی شد. مطالعات مروری نشان داد که پدیده جفت‌شدن مودها عامل اصلی این پدیده است. مطالعات همچنین نشان داد که روش جفت‌شدن مودها قادر است سیستم لنت و ترمز را با جزیئات کامل مدل‌سازی و سپس مودهای ناپایدار آن را به کمک حل مسئله مقدار ویژه تعیین کند. در ادامه تکنیک جدیدی برای شبیه سازی کامل پدیده ارائه و سپس روش بر روی سیستم ترمز سمند اعمال شد.

پدیده یکی‌شدن مودها بر روی ترمز سمند بررسی و تاثیر پارامترهای مختلف بر روی آن مورد مطالعه قرار گرفت. با تغییر در هندسه قطعات می‌توان تغییرات عمدہ‌ای در جیغ ترمز ایجاد کرد. برای این سیستم ترمز، بهترین نوع شیار بر روی لنت به دست آمد که در آن جیغ ترمز بهشت کاهش یافتد. نتایج نمایانگر این مطلب‌اند که با کاهش ضربی اصطکاک بین دو صفحه و ایجاد شیار با شکلی خاص بر روی لنت می‌توان از ایجاد جیغ ترمز جلوگیری کرد.

۵-۶- اثر کشسانی دیسک و چگالی دیسک و لنت بر

روی جیغ ترمز

قابلیت تغییر در کشسانی دیسک ترمز با توجه به جنس آن و همچنین تاثیر آن بر روی دیگر پارامترهای طراحی ترمز زیاد نیست. به عبارت دیگر این پارامتر جزو پارامترهایی است که طراح اجازه تغییرات در آن را ندارد. تغییراتی در محدوده قابل قبول (به علاوه و منها ۱۰ درصد) در سختی دیسک اعمال و محاسبات مجدداً انجام شد، اما اثر قابل توجهی در کاهش یا افزایش جیغ ترمز مشاهده نشد. چگالی دیسک و لنت نیز در محدوده قابل قبول نسبت به مقدارهای اولیه آن تغییر داده شد، اما این نتایج نشان داد که این تغییرات تاثیر خاصی بر روی پارامترهای مورد بررسی در رابطه با جیغ ترمز ندارد.

۶- نتیجه‌گیری

این مقاله به بررسی پدیده جیغ ترمز در سیستم ترمز اتومبیل می‌پردازد. در این نظریه‌های مختلف ارائه شده در این زمینه

واژه نامه

- 1. brake Squeal
- 2. shims
- 3. stick- Slip
- 4. internal resonance
- 5. static General
- 6. unsymmetric
- 7. compute Cluster
- 8. floating point operation per second
- 9. damping ratio
- 10. node to surface

مراجع

1. Michaux, M., "Suppression of Friction-Induced Oscillations through Use of High-Frequency Dither Signals," Ph.D. Thesis, Georgia Institute of Technology, Georgia, 2005.
2. Cao, Q., "Linear Eigenvalue Analysis of the Disc-Brake Squeal Problem," *International Journal for Numerical Methods in Engineering*, 2004.
3. Dumitru, M., "Nonsmooth Dynamics of Disc Brake System and Aeroelastic Panels," Ph.D. Thesis Wayne state university, Detroit, 2005.
4. Ouyang, H., and Mottershead, J.E., "Friction-Induced Parametric Resonances in Disc: Effect of a Negative Friction-Velocity Relationship." *Journal of Sound and Vibration*, 1998.
5. Millner, N., "An Analysis of Disc Brake Squeal," Sae Technical Paper, 1978.
6. Wagner, U., Hochlenert, D., and Hagedorn, P., "Minimal Models for Disk Brake Squeal," *Journal of Sound and Vibration*, 2007.
7. Mottershead, J. E., *Vibrations and Friction-Induced Instability in Discs. Dynamics with Friction: Modeling, Analysis, and Experiment*, World Scientific Publishing, 2001.
8. Pilipchuk, V., and Tan, C., "Creep-Slip Capture as a Possible Source of Squeal During Decelerated Sliding," *Nonlinear Dynamics*, 2004.
9. Shin, K, Brennan, M. Oh, J, and Harris, C., "Analysis of Disk Brake Noise Using a Two-Degree-of-Freedom Model," *Journal of Sound and Vibration*, 2002.

10. Hagedorn, P., "Control of Disc Brake Squeal – Modelling and Experiments," *Struct. Control Health Monit*, 2006.
11. Luo, J., "Friction-Induced Vibration and Dynamic Instability Finite Element Analysis: Application of Disc Brake Squeal," Ph.D. Thesis, university of Cincinnati, Ohio, 1995.
12. Massi, F. et.al, "Brake Squeal: Linear and Nonlinear Numerical Approaches," Mechanical Systems and Signal Processing, 2006.
13. Majcherczak, D, and Dufrénoy, P., "Dynamic Analysis of a Disc Brake Under Frictional and Thermomechanical Internal Loading," *Arch Appl Mech*, 2006.
14. Lorang, X, Foy-Margiocchi, F, Nguyen, Q. and Gautier, P., "TGV Disc Brake Squeal," *Journal of Sound and Vibration*, 2006.
15. Hibbit, Karlsson & Sorensen Inc., Abaqus/Standard User's Manual, Version 6.9.1,

Archive of SID